



**INSTITUTO FEDERAL DE EDUCAÇÃO, CIÊNCIA E TECNOLOGIA DA  
PARAIBA  
COORDENAÇÃO DO CURSO SUPERIOR DE BACHARELADO EM  
ENGENHARIA ELÉTRICA**

**ALYSSON BATISTA DE SOUZA  
FABRÍCIO DA SILVA LEITÃO  
GABRIEL BARBOSA DO NASCIMENTO**

**Projeto 3 – Sistemas de Controle I**

**JOÃO PESSOA  
Junho de 2023**

ALYSSON BATISTA DE SOUZA  
FABRÍCIO DA SILVA LEITÃO  
GABRIEL BARBOSA DO NASCIMENTO

## PROJETO 3 – SISTEMAS DE CONTROLE I

Relatório referente à disciplina de Sistemas de controle 1 , ministrada no Instituto Federal de Educação, Ciência e Tecnologia da Paraíba, durante o semestre 2023.1, orientado pelo professor Dr. Ademar Gonçalves da Costa Júnior

João Pessoa  
Junho de 2023

# Lista de ilustrações

Figura 1 – LGR item 1 . . . . .	13
Figura 2 – LGR item 2. . . . .	14
Figura 3 – LGR item 3. . . . .	15
Figura 4 – Comportamento dinâmico item 2. . . . .	16
Figura 5 – Comportamento dinâmico item 3. . . . .	17
Figura 6 – Resultado obtido com compensador por atraso. . . . .	18

# Sumário

1	ANALÍTICA . . . . .	5
1.1	Item 1 . . . . .	5
1.2	Item 2 . . . . .	7
1.3	Item 3 . . . . .	9
1.4	Item 4 . . . . .	13
2	CONSIDERAÇÕES FINAIS . . . . .	19

# 1 Analítica

Neste terceiro projeto, utilizando o modelamento matemático de um circuito elétrico do projeto 2 vocês deverão, em grupo, desenvolver nesta etapa, os seguintes itens:

## 1.1 Item 1

1. Considerando a inserção de um ganho K na malha direta, e uma realimentação unitária para o sistema em malha fechada, esbocem manualmente o LGR do sistema em malha fechada (deve ser apresentado todos os cálculos para este esboço como justificativa);

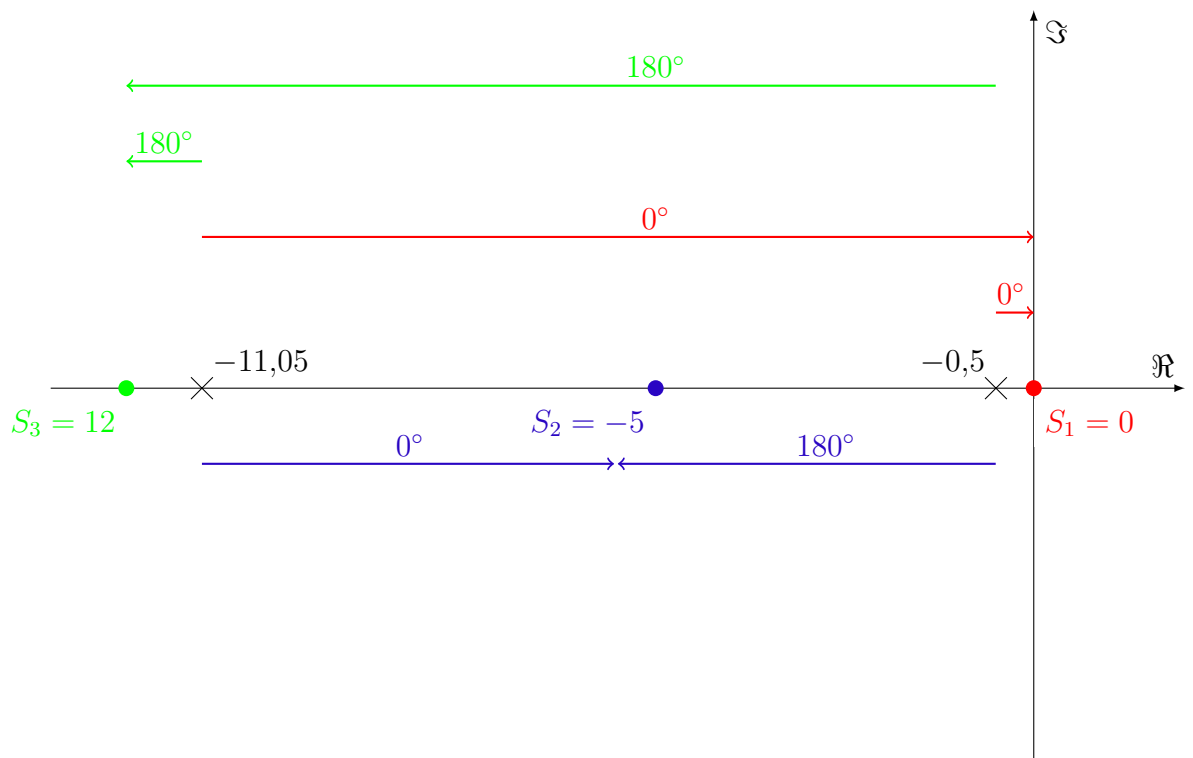
$$G(s) = \frac{5,56}{s^2 + 11,56s + 5,56}$$

Conversão de fase

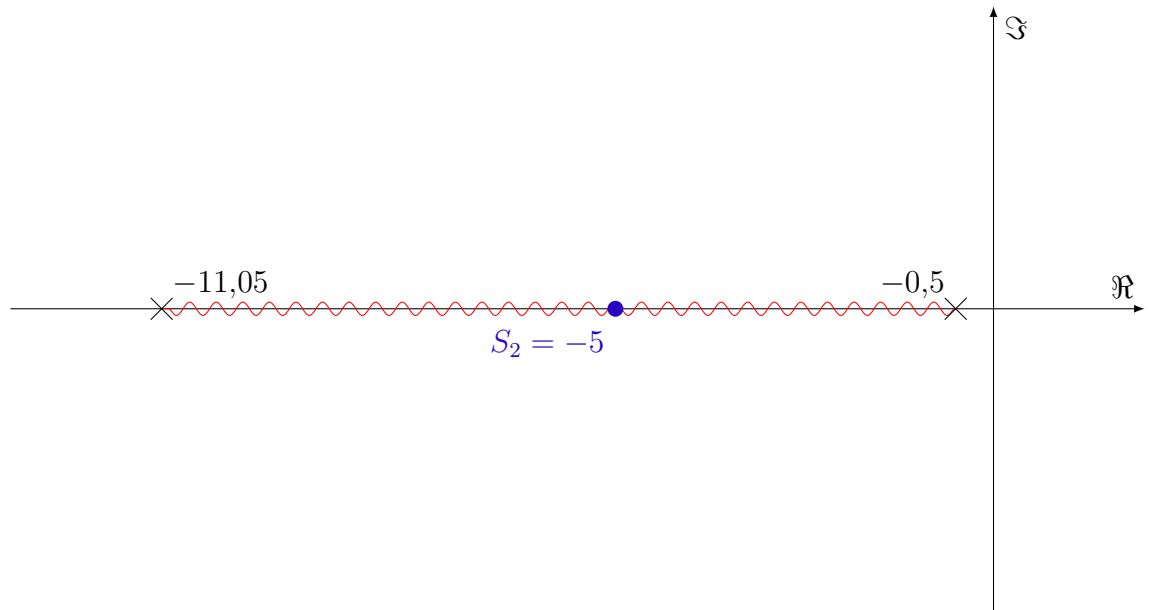
Para  $S_1 = 0$   $G(s) = -\angle S_1 + 0,5 - \angle S_1 + 0,5 = 0^\circ$

Para  $S_2 = -5$   $G(s) = -\angle S_2 + 0,5 - \angle S_2 + 0,5 = 180^\circ$

Para  $S_3 = 12$   $G(s) = -\angle S_3 + 0,5 - \angle S_3 + 0,5 = -360^\circ = 0^\circ$



O logo LGR está entre os polos  $-0,5$  e  $-11,04$  com condição satisfeita para  $S_2 = -5$



Traçando o LGR:

$$n = 2 \longrightarrow 2 \text{ ramos}$$

$$m = 0 \longrightarrow 0 \text{ zeros}$$

Como  $n > m$ :

$$n - m = 2$$

Definindo os ângulos das assíntotas dos ramos que terminam no infinito.

$$\alpha_1 = \frac{S_2}{n - m} = \frac{180^\circ}{2} = 90^\circ$$

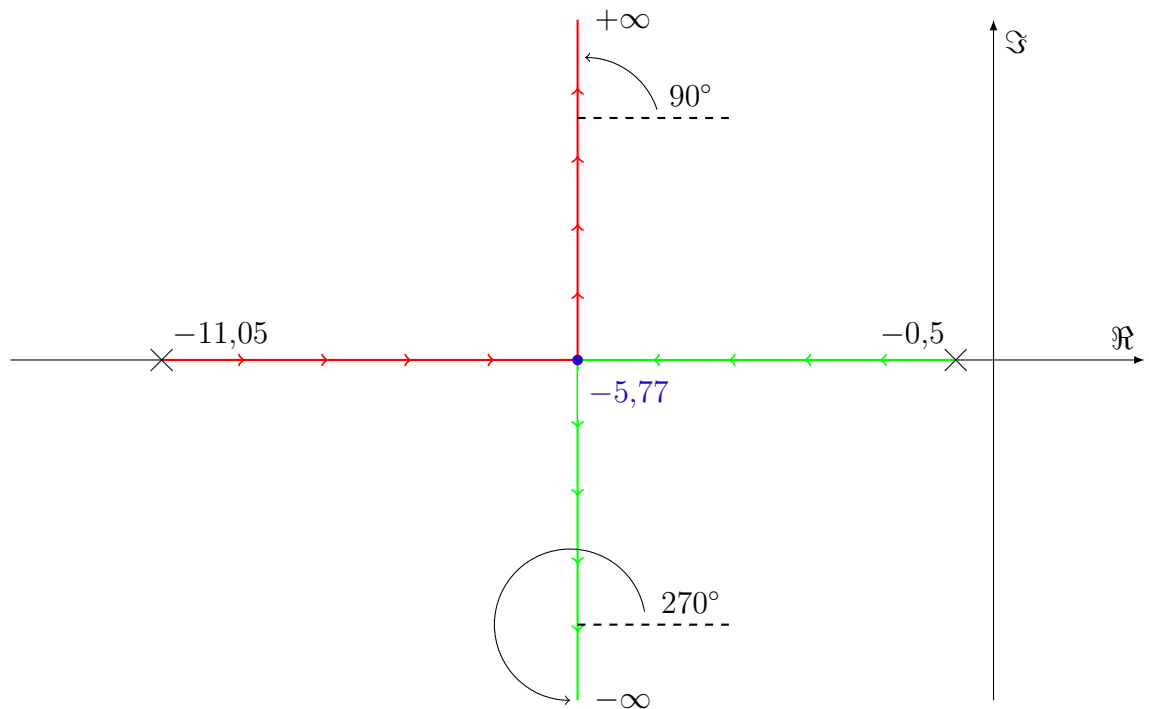
$$\alpha_1 = \frac{3 \times S_2}{n - m} = \frac{3 \times 180^\circ}{2} = 270^\circ$$

Definindo o ponto que as assíntotas cruzam o eixo real:

$$S_e = \frac{\sum \text{Polos(Malha aberta)} - \sum \text{Zeros(Malha aberta)}}{n - m}$$

$$S_e = \frac{-0,5 - 11,04 - 0}{2} = -5,77$$

Há um ponto de partida em  $-5,77$



## 1.2 Item 2

2. Com a premissa de projeto de overshoot máximo permitido de 12% e tempo de estabelecimento, no critério de 2%, de 5 segundos, determinem o valor de K para estes polos especificados;

$$M_p = 0,12 \longrightarrow \text{Overshoot}$$

$$T_s = 5s \longrightarrow \text{Tempo de assentamento}$$

Sabendo que  $M_p = 0,12$

$$M_p = e^{-\frac{\zeta\pi}{\sqrt{1-\zeta^2}}}$$

$$0,12 = e^{-\frac{\zeta\pi}{\sqrt{1-\zeta^2}}}$$

$$\ln(0,12)^2 = \left( -\frac{\zeta\pi}{\sqrt{1-\zeta^2}} \right)^2$$

$$\ln^2(0,12) = \frac{\zeta^2\pi^2}{1-\zeta^2}$$

$$0,4554 = \frac{\zeta^2}{1-\zeta^2}$$

$$0,4554 - 0,4554\zeta^2 = \zeta^2$$

$$0,4554 = \zeta^2 + 0,4554\zeta^2$$

$$0,4554 = 1,4554\zeta^2$$

$$\boxed{\zeta = 0,56}$$

E que o  $T_s = 5s$

$$T_s = \frac{4}{\zeta\omega_n}$$

$$5 = \frac{4}{0,56\omega_n}$$

$$\omega_n = \frac{0,8}{0,56}$$

$$\boxed{\omega_n = 1,43}$$

Agora podemos calcular o nosso polo dominante:

$$S = -\zeta \times \omega_n \pm j\omega_n \times \sqrt{1 - \zeta^2}$$

$$S = -0,56 \times 1,43 \pm j1,43 \times \sqrt{1 - (0,56)^2}$$

$$S = -0,8 \pm 1,185j$$

Calculando o valor de k para esses polos:

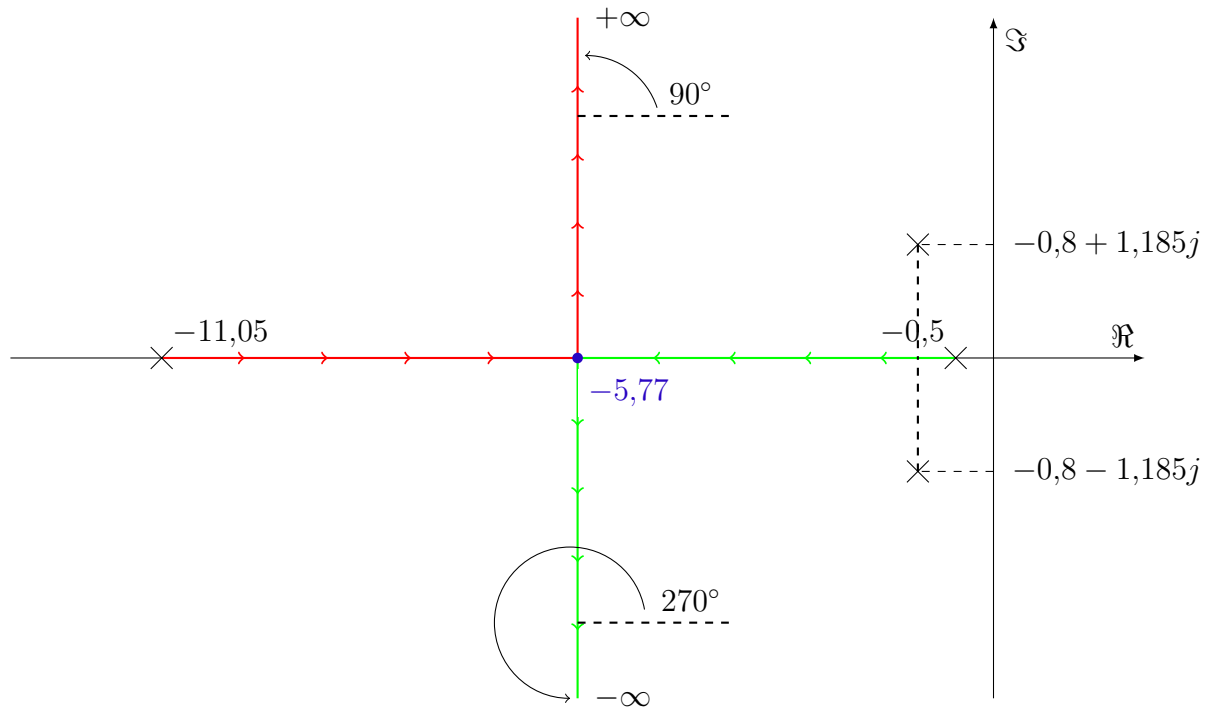
$$k = \frac{1}{G(s)}$$

$$k = \frac{1}{\frac{5,56}{s^2 + 11,56s + 5,56}}$$

$$k = \frac{(-0,8 + 1,185j)^2 + 11,56 \times (-0,8 + 1,185j) + 5,56}{5,56}$$

$$\boxed{k = 2.2271}$$





### 1.3 Item 3

3. Com a mesma premissa do item anterior (overshoot máximo permitido de 12% e tempo de estabelecimento, no critério de 2%, de 5 segundos), projetem os compensadores pelas técnicas de avanço de fase (por condição de fase/ganho e análise direta), atraso de fase, e avanço e atraso de fase. O erro em regime permanente permitido será de 0,5% para o sistema em malha fechada.

- Controlador proporcional

Usando apenas controlador proporcional:

$$e_p(\infty) \leq 0.005 \quad M_p\% \leq 12\% \quad T_s \leq 5s$$

O erro no estado estacionário como premissa é 0,005:

$$e_p(\infty) = \frac{1}{1 + K_p}$$

$$0,005 = \frac{1}{1 + K_p}$$

$$0,005 + 0,005 \times K_p = 1$$

$$k_p = \frac{0,995}{0,005}$$

$$K_p = 199$$

logo

$$199 = \lim_{s \rightarrow 0} k \frac{5,56}{(s + 0,5)(s + 11,05)}$$

$$199 = k \frac{5,56}{0,5 \times 11,05}$$

$$199 = k \times 1,0063$$

$$k = 197,75$$

Atende o critério de erro e tempo de acomodação abaixo de 5 segundos, porém não atende o pré-requisito de overshoot máximo de 12%.

- Compensador por avanço

Como os polos dominantes em malha fechada  $s = -0,8 \pm 1,185j$

$$\phi_1 = 180^\circ - tg^{-1}\left(\frac{1,185}{0,3}\right) = 104,21^\circ$$

$$\phi_2 = tg^{-1}\left(\frac{1,185}{10,25}\right) = 6,6^\circ$$

$$tg^{-1}\left(\frac{1,185}{p_c - 0,8}\right) = 90^\circ - \phi_1 - \phi_2 + 180^\circ = 90^\circ - 104,21^\circ - 6,6^\circ + 180^\circ = 159,19^\circ$$

$$tg(159,19^\circ) = -0,38 = \frac{1,185}{p_c - 0,8}$$

$$p_c - 0,8 = \frac{1,185}{(-0,38)}$$

$$p_c - 0,8 = -3,12$$

$$p_c = -2,32$$

O polo do compensador por avanço fica no lado direito do sistema fazendo com que o sistema fique instável.

- Compensador por Atraso

Função de transferência do sistema em malha fechada compensado:

$$G_{ma}(s) = G_c(s)G(s) = K_c \left( \frac{s + z_c}{s + p_c} \right) \times \frac{5.56}{s^2 + 11.56s + 5.56}$$

$$G_{ma}(s) = \frac{k_c(5.56s + 5.56z_c)}{(s + p_c)(s + 0.5)(s + 11.05)} \quad (1)$$

Considerando o  $e_c = 0.005$ :

$$e_p = \lim_{s \rightarrow 0} sE_c(s) = \lim_{s \rightarrow 0} s \frac{1}{1 + G_{ma}(s)} \times \frac{1}{s} = \lim_{s \rightarrow 0} \frac{1}{1 + \frac{k_c(5.56s + 5.56z_c)}{(s + p_c)(s + 0.5)(s + 11.05)}} \times \frac{1}{s}$$

$$0.005 = \frac{1}{1 + \frac{k_c(5.56z_c)}{p_c \times 0.5 \times 11.05}} = \frac{1}{1 + \frac{5.56K_c z_c}{5.525}}$$

$$0.005 = \frac{1}{\frac{5.525p_c + 5.56k_c z_c}{5.525p_c}}$$

$$0.005 = \frac{5.525p_c}{5.525p_c + 5.56k_c z_c}$$

$$0.005(5.525p_c + 5.56k_c z_c) = 5.525p_c$$

$$0.0276p_c + 0.0278k_c z_c = 5.525p_c$$

$$5.4974p_c = 0.0278k_c z_c$$

Considerando  $k_c = 1$ :

$$0.0278z_c = 5.4974p_c$$

Isolando  $z_c$ :

$$z_c = p_c \frac{5.4974}{0.0278}$$

$$\frac{z_c}{p_c} = 197.75$$

Escolhendo arbitrariamente o valor do polo  $p_c = 0.00575$

$$\frac{z_c}{p_c} = 197.75$$

$$\frac{z_c}{0.00575} = 197.75$$

$$z_c = 1.13$$

Substituindo  $p_c$  e  $z_c$  na função de transferência do compensador para atraso de fase :

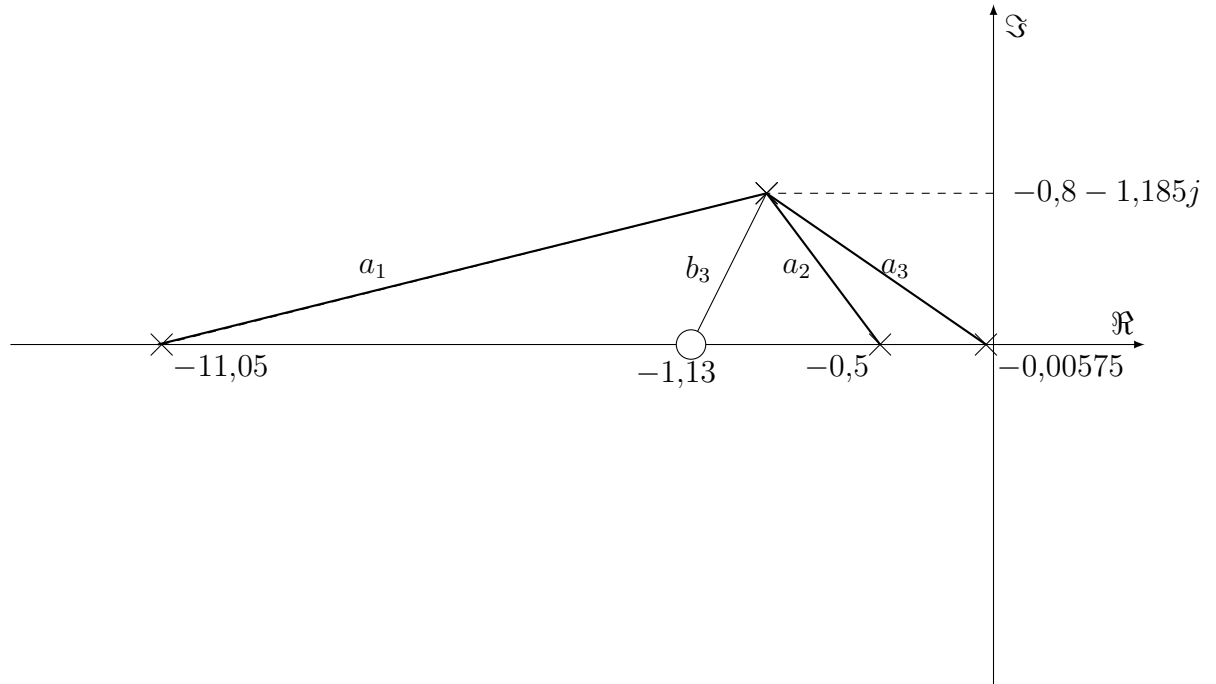
$$G_c = K_c \left( \frac{s + 1,13}{s + 0,00575} \right) \quad (2)$$

Substituindo (2) em (1):

$$G_{ma}(s) = \frac{k_c(5,56s + 5,56 \times 1,13)}{(s + 0,00575)(s + 0,5)(s + 11,05)}$$

O ganho  $K_c$  pode ser ajustado pela condição de módulo:

$$\left| \frac{k_c(5,56s + 5,56 \times 1,13)}{(s + 0,00575)(s + 0,5)(s + 11,05)} \right| = 1$$



$$a_1 = \sqrt{1,185^2 + 10,25^2} \cong 10,32$$

$$a_1 = \sqrt{1,185^2 + 0,3^2} \cong 1,22$$

$$a_1 = \sqrt{1,185^2 + 0,79425^2} \cong 1,42$$

$$b_1 = \sqrt{1,185^2 + 0,33^2} \cong 1,23$$

Condição de módulo:

$$\left| \frac{k_c \times b_1 \times 5,56}{a_1 \times a_2 \times a_3} \right| = 1$$

$$K_c = \frac{a_1 \times a_2 \times a_3}{5,56 \times b_1}$$

$$k_c = \frac{(10,32)(1,22) \times (1,42)}{5,56 \times 1,23}$$

$$k_c = 2,61$$

$$G_{ma}(s) = \frac{2,61(5,56s + 5,56 \times 1,13)}{(s + 0,00575)(s + 0,5)(s + 11,05)}$$

## 1.4 Item 4

4. Com a ajuda do Matlab apresentem o LGR dos itens 1 a 3, além de simular o comportamento dinâmico do sistema em malha fechada (itens 2 e 3). Em um mesmo gráfico, comparem os resultados obtidos no projeto dos compensadores do item 3.

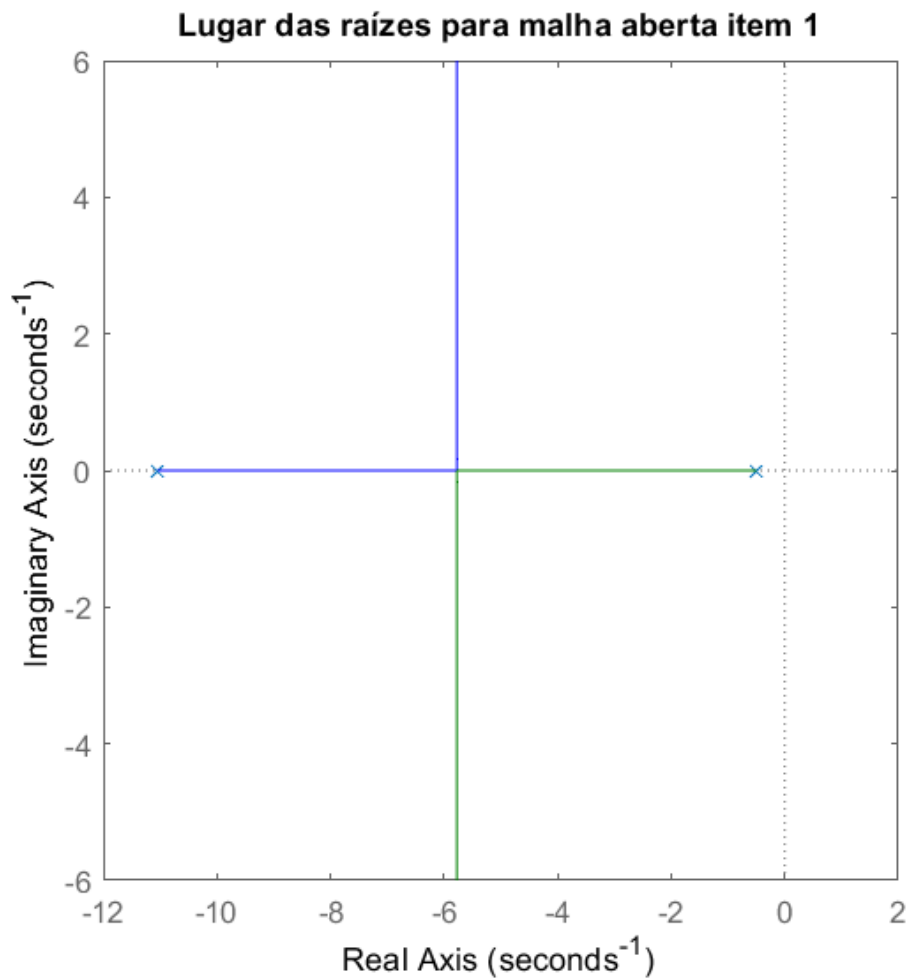


Figura 1 – LGR item 1

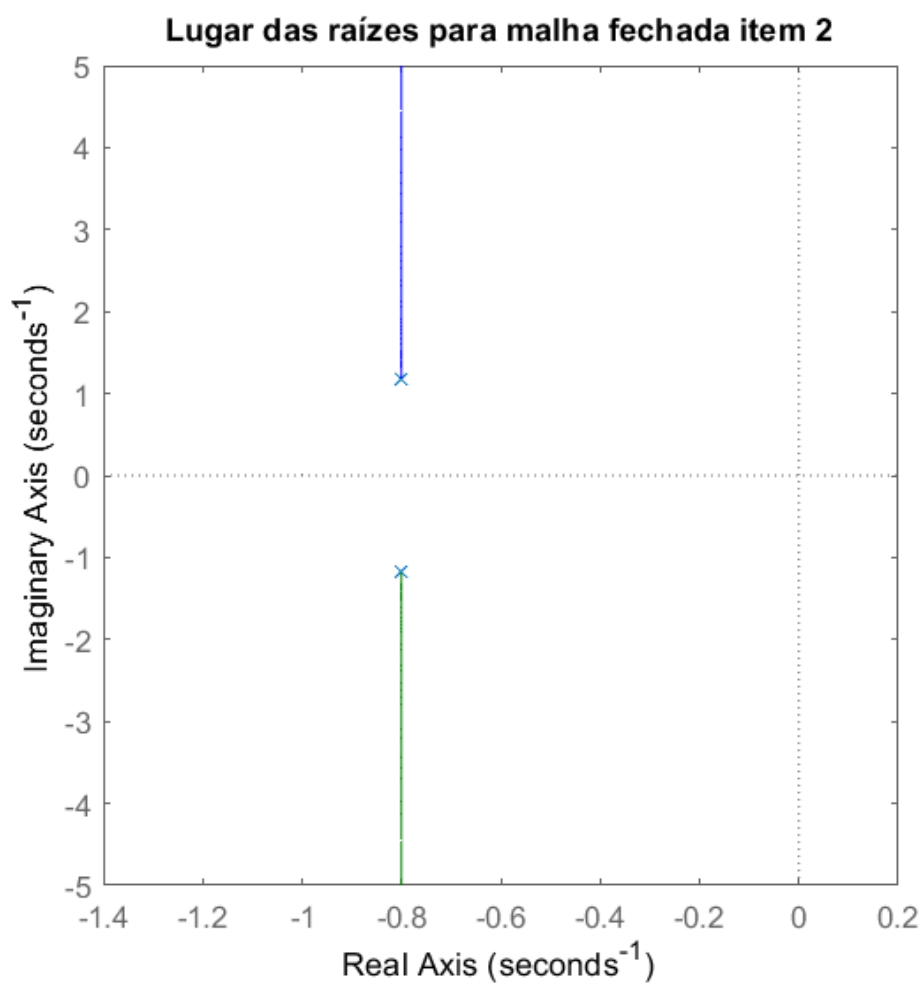


Figura 2 – LGR item 2.

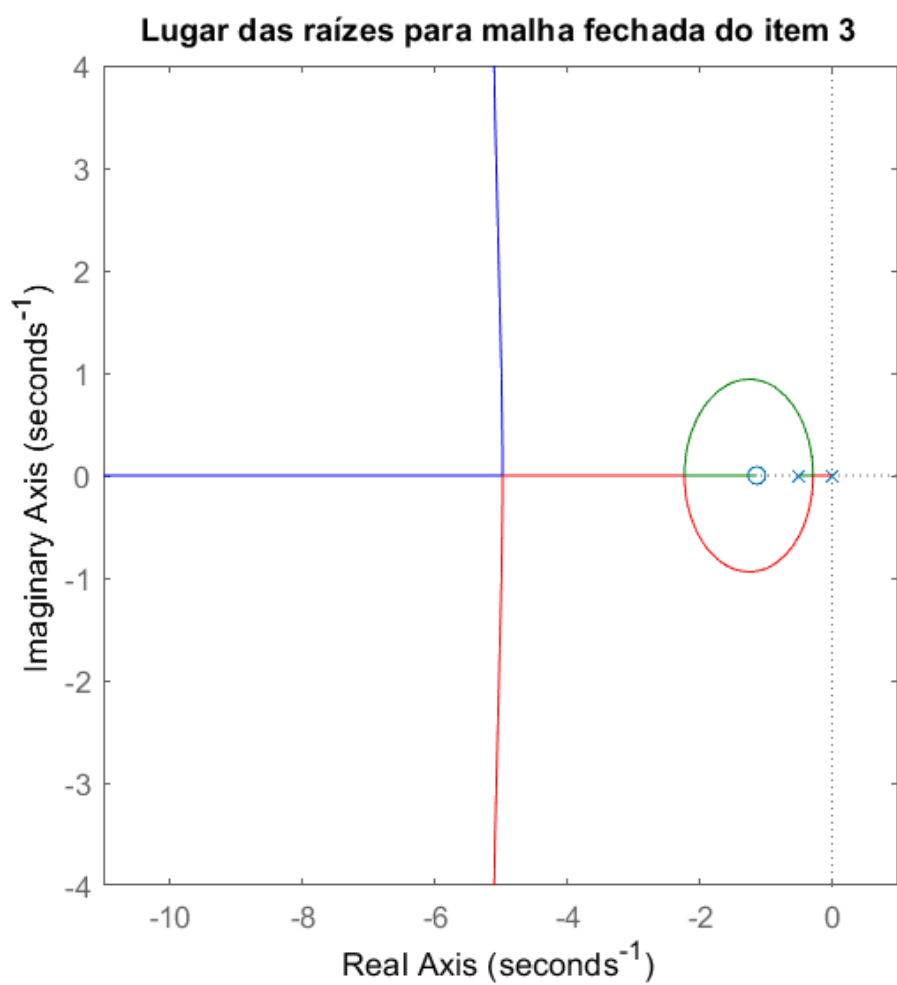


Figura 3 – LGR item 3.

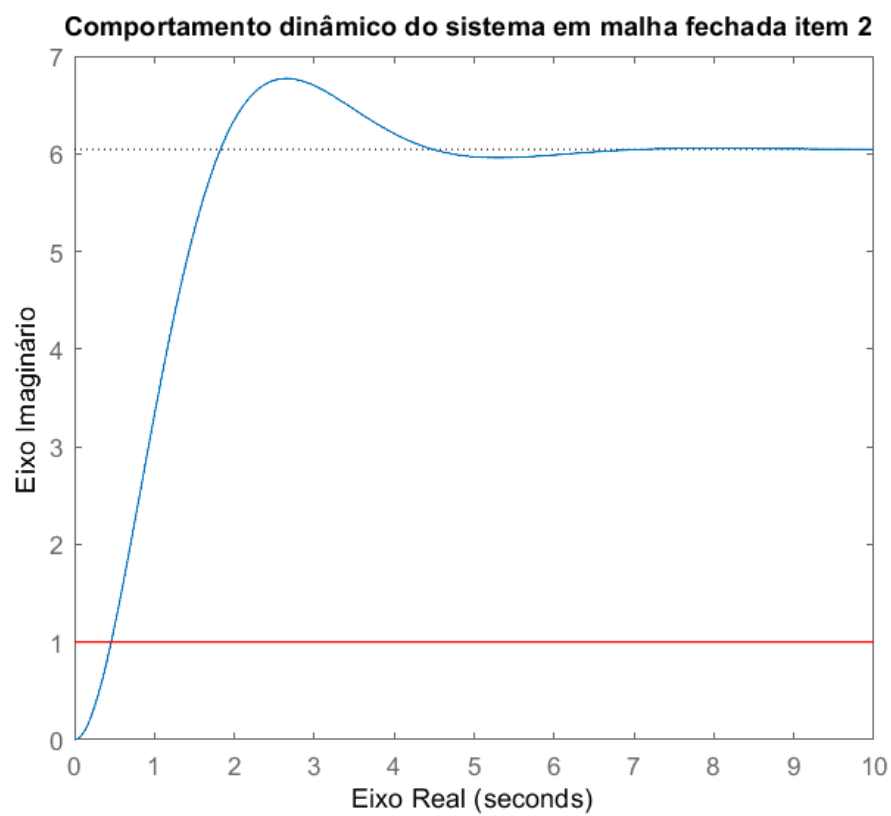


Figura 4 – Comportamento dinâmico item 2.



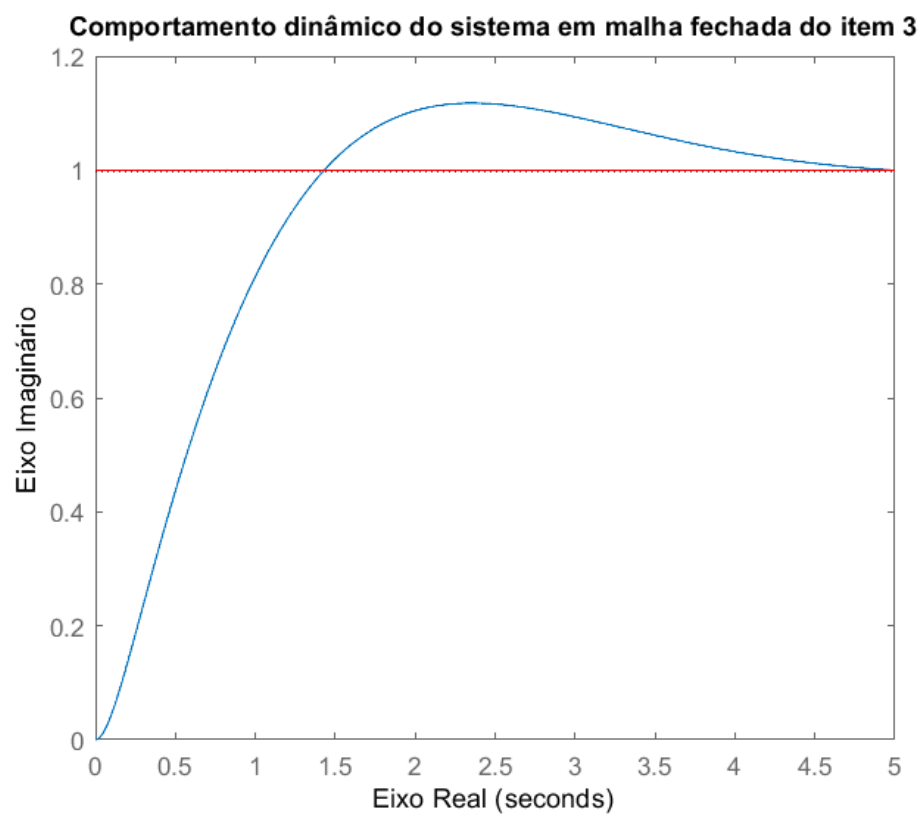


Figura 5 – Comportamento dinâmico item 3.

O compensador por avanço de fase apresentou instabilidade, e o compensador por avanço e atraso de fase também possui uma tendência para a instabilidade.

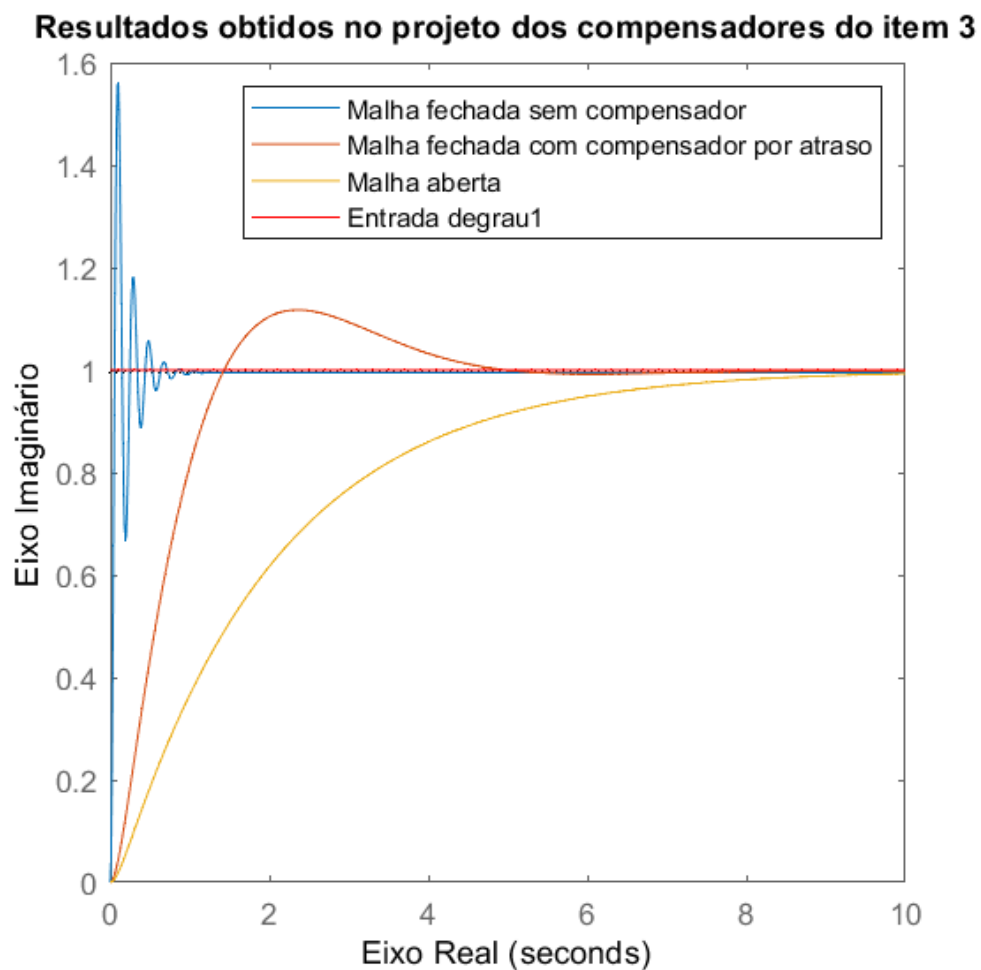


Figura 6 – Resultado obtido com compensador por atraso.

## 2 Considerações finais

Diante dos resultados obtidos na simulação, pode-se afirmar que o programa MATLAB gerou quase os mesmos valores da parte analítica do projeto.

```
% Instituto Federal da Paraíba
% Data: 31/04/2023
% Ademar Gonçalves da Costa Júnior
% Sistemas de Controle I
% Projeto 3 - Sistemas de Controle I
% Grupo 3: Alysson, Fabrício, Gabriel
```

```
close all
clear all
```

```
#####
#####
```

```
% 1. Considerando a inserção de um ganho K na malha direta, e uma realimentação
% unitária para o sistema em malha fechada, esbocem manualmente o LGR do sistema
% em malha fechada (deve ser apresentado todos os cálculos para este esboço como
% justificativa);
```

```
% Função de transferência do sistema em malha aberta
```

```
numA = [5.55];
denA = [1 11.55 5.55];
G = tf(numA, denA);
figure('Units', 'inches', 'Position', [0 3.1 5 5]);
rlocus(G);
pole(G);
title('Lugar das raízes para malha aberta item 1');
grid off;
hold on;
pause(0.01)
```

```
#####
#####
```

```
% 2. Com a premissa de projeto de overshoot máximo permitido de 12% e tempo de
% estabelecimento, no critério de 2%, de 5 segundos, determinem o valor de K para
estes
% polos especificados;
```

```
% Definir overshoot máximo permitido e tempo de estabelecimento desejado
OS_max = 0.12; % 12% de overshoot máximo permitido
Ts_desired = 5; % Tempo de estabelecimento desejado (2% de critério)
```

```
% Calcular o coeficiente de amortecimento a partir do overshoot máximo permitido
zeta = -log(OS_max) / sqrt(pi^2 + log(OS_max)^2);
```

```
% Calcular a frequência natural não amortecida a partir do tempo de estabelecimento
desejado
omega_n = 4 / (zeta * Ts_desired);
```

```
% Determinar o valor de K
K = omega_n^2;
```

```

% Exibir os resultados
disp(['Valor de K: ' num2str(K)]);
disp(['Coeficiente de amortecimento (\zeta): ' num2str(zeta)]);
disp(['Frequência natural não amortecida (\omega_n): ' num2str(omega_n)]);

figure('Units', 'inches', 'Position', [5 3.1 6 5])
tempo = 0:0.001:10;
num1 = [5.55*2.2271];
poly1 = [1 1.6 2.04423];
sistema=tf(num1,poly1);
step(sistema,tempo);
hold on
degrau = tempo;
degrau(1,:) = (1);
plot(tempo,degrau,'r');
grid off

title('Comportamento dinâmico do sistema em malha fechada item 2 ');
xlabel('Eixo Real');
ylabel('Eixo Imaginário');
hold on

figure('Units', 'inches', 'Position', [0 1.5 5 5])
rlocus(sistema);
title('Lugar das raízes para malha fechada item 2');
grid off
pause(0.01)
#####
#####

% Com a mesma premissa do item anterior (overshoot máximo permitido de 12% e
% tempo de estabelecimento, no critério de 2%, de 5 segundos), projetem os
compensadores
% pelas técnicas de avanço de fase (por condição de fase/ganho e análise direta),
atraso de
% fase, e avanço e atraso de fase. O erro em regime permanente permitido será de
0,5% para
% o sistema em malha fechada.

time = 0:0.001:5;

num1_3a = [5.56*1];
den1_3a = [1 11.56 5.56*(1+1)];
f1 = tf(num1_3a, den1_3a);

num2_3b = [5.56*197.75];
den2_3b = [1 11.56 5.56*(1+197.75)];
f2 = tf(num2_3b,den2_3b);
% numerador da planta
num=5.56;

% denominador da planta

```

```
den=[1 11.56 5.56]

% funcao de transferencia da planta
sys=tf(num,den);

%% funcao de transferencia de malha fechada (com indicacao de polos. O sistema nao tem zeros)

numF=[5.56*197.75];
denF=[1 11.56 5.56*(1+197.75)];
T1=tf(numF,denF);

disp('polos em malha fechada do sistema original:')
pole(T1)

% resposta ao degrau em malha fechada do sistema original
to=0:0.01:10;
yo=step(T1,to);

% sobressinal em %
disp('sobressinal em % do sistema original:')
(max(yo)-yo(end))*100/yo(end)

% erro em estado estacionario
disp('erro em estado estacionario do sistema original:')
1-yo(end)

%% Compensador por atraso

% funcao de transferencia da planta
sys=tf(num,den);

p=0.00575;
% pelas restricoes de ganho chega-se a
z=p*197.75;

% a condicao de modulo para ter polos de mf em -0.8+-j1.185 resulta em
A1 = sqrt(1.185^2+(11.05-0.8)^2);
A2 = sqrt(1.185^2+(0.8-0.5)^2);
A3 = sqrt(1.185^2+(0.8-z)^2);
B1 = sqrt(1.185^2+(A2-0.8)^2);
Kc = (A1*A2*A3)/(5.56*B1)

numc=Kc*[1 z];
denc=[1 p];
C=tf(numc,denc);

% funcao de transferencia de ramo direto
CG=series(C,sys)

% funcao de transferencia de malha fechada (indicacao de polos e zeros)
T2=CG/(1+CG);
```

```

figure('Units', 'inches', 'Position', [5 1 6 5]);
step(time,T2);
hold on
degrau = time;
degrau(1,:) = (1);
plot(time,degrau,'r');
title('Comportamento dinâmico do sistema em malha fechada do item 3');
xlabel('Eixo Real');
ylabel('Eixo Imaginário');

disp('polos em malha fechada com controlador em atraso de fase:')
pole(T2)
disp('zero em malha fechada com controlador em atraso de fase:')
zero(T2)

t2=0:0.01:8;

% resposta ao degrau unitario
y2=step(t2,T2);

% sobressinal em %
disp('sobressinal em % do sistema com controlador em atraso de fase:')
(max(y2)-y2(end))*100/y2(end)

% erro em estado estacionario
disp('erro em estado estacionario do sistema com controlador em atraso de fase:')
1-y2(end)

% Lugar das raizes do sistema com compensador

figure('Units', 'inches', 'Position', [0 0 5 5])
rlocus(CG)
title('Lugar das raízes para malha fechada do item 3');
axis([-11 1 -4 4])

figure('Units', 'inches', 'Position', [10.96 3.1 5 5]);
step(to,T1);
hold on;
step(to,T2);
step(to,sys);

degrau = to;
degrau(1,:) = (1);
plot(to,degrau,'r');

title('Resultados obtidos no projeto dos compensadores do item 3');
xlabel('Eixo Real');
ylabel('Eixo Imaginário');
legend('Malha fechada sem compensador','Malha fechada com compensador por ↵
atraso','Malha aberta','Entrada degraul');

```